

# Starkniederschlagshöhen und -spenden gemäß KOSTRA-DWD-2020

## Rasterfeld 149122

(Zeile 149, Spalte 122)

### Regenspende und Bemessungsniederschlagswerte in Abhängigkeit von Wiederkehrzeit T und Dauerstufe D

| Dauerstufe D |     | Wiederkehrzeit T |            |      |            |      |            |      |            |      |            |       |            |       |            |       |            |       |            |
|--------------|-----|------------------|------------|------|------------|------|------------|------|------------|------|------------|-------|------------|-------|------------|-------|------------|-------|------------|
|              |     | 1 a              |            | 2 a  |            | 3 a  |            | 5 a  |            | 10 a |            | 20 a  |            | 30 a  |            | 50 a  |            | 100 a |            |
| min          | Std | mm               | l / (s ha) | mm   | l / (s ha) | mm   | l / (s ha) | mm   | l / (s ha) | mm   | l / (s ha) | mm    | l / (s ha) | mm    | l / (s ha) | mm    | l / (s ha) | mm    | l / (s ha) |
| 5            |     | 7,1              | 236,7      | 8,6  | 286,7      | 9,5  | 316,7      | 10,8 | 360,0      | 12,6 | 420,0      | 14,4  | 480,0      | 15,6  | 520,0      | 17,2  | 573,3      | 19,5  | 650,0      |
| 10           |     | 9,1              | 151,7      | 11,1 | 185,0      | 12,4 | 206,7      | 14,0 | 233,3      | 16,3 | 271,7      | 18,7  | 311,7      | 20,3  | 338,3      | 22,3  | 371,7      | 25,3  | 421,7      |
| 15           |     | 10,4             | 115,6      | 12,7 | 141,1      | 14,1 | 156,7      | 15,9 | 176,7      | 18,6 | 206,7      | 21,3  | 236,7      | 23,1  | 256,7      | 25,4  | 282,2      | 28,8  | 320,0      |
| 20           |     | 11,3             | 94,2       | 13,8 | 115,0      | 15,3 | 127,5      | 17,3 | 144,2      | 20,2 | 168,3      | 23,2  | 193,3      | 25,1  | 209,2      | 27,7  | 230,8      | 31,3  | 260,8      |
| 30           |     | 12,7             | 70,6       | 15,4 | 85,6       | 17,1 | 95,0       | 19,4 | 107,8      | 22,6 | 125,6      | 26,0  | 144,4      | 28,1  | 156,1      | 31,0  | 172,2      | 35,1  | 195,0      |
| 45           |     | 14,1             | 52,2       | 17,2 | 63,7       | 19,1 | 70,7       | 21,6 | 80,0       | 25,2 | 93,3       | 28,9  | 107,0      | 31,3  | 115,9      | 34,5  | 127,8      | 39,0  | 144,4      |
| 60           | 1   | 15,2             | 42,2       | 18,5 | 51,4       | 20,5 | 56,9       | 23,2 | 64,4       | 27,1 | 75,3       | 31,1  | 86,4       | 33,7  | 93,6       | 37,1  | 103,1      | 42,0  | 116,7      |
| 90           | 1,5 | 16,8             | 31,1       | 20,4 | 37,8       | 22,7 | 42,0       | 25,7 | 47,6       | 30,0 | 55,6       | 34,4  | 63,7       | 37,3  | 69,1       | 41,0  | 75,9       | 46,5  | 86,1       |
| 120          | 2   | 18,0             | 25,0       | 21,9 | 30,4       | 24,3 | 33,8       | 27,5 | 38,2       | 32,1 | 44,6       | 36,9  | 51,3       | 40,0  | 55,6       | 44,0  | 61,1       | 49,8  | 69,2       |
| 180          | 3   | 19,9             | 18,4       | 24,2 | 22,4       | 26,8 | 24,8       | 30,3 | 28,1       | 35,4 | 32,8       | 40,6  | 37,6       | 44,0  | 40,7       | 48,5  | 44,9       | 54,9  | 50,8       |
| 240          | 4   | 21,3             | 14,8       | 25,9 | 18,0       | 28,7 | 19,9       | 32,5 | 22,6       | 37,9 | 26,3       | 43,5  | 30,2       | 47,2  | 32,8       | 51,9  | 36,0       | 58,8  | 40,8       |
| 360          | 6   | 23,4             | 10,8       | 28,5 | 13,2       | 31,6 | 14,6       | 35,8 | 16,6       | 41,7 | 19,3       | 47,9  | 22,2       | 51,9  | 24,0       | 57,2  | 26,5       | 64,7  | 30,0       |
| 540          | 9   | 25,7             | 7,9        | 31,3 | 9,7        | 34,8 | 10,7       | 39,3 | 12,1       | 45,9 | 14,2       | 52,6  | 16,2       | 57,1  | 17,6       | 62,9  | 19,4       | 71,2  | 22,0       |
| 720          | 12  | 27,5             | 6,4        | 33,5 | 7,8        | 37,2 | 8,6        | 42,1 | 9,7        | 49,1 | 11,4       | 56,3  | 13,0       | 61,0  | 14,1       | 67,2  | 15,6       | 76,1  | 17,6       |
| 1080         | 18  | 30,2             | 4,7        | 36,8 | 5,7        | 40,9 | 6,3        | 46,2 | 7,1        | 53,9 | 8,3        | 61,9  | 9,6        | 67,1  | 10,4       | 73,9  | 11,4       | 83,7  | 12,9       |
| 1440         | 24  | 32,3             | 3,7        | 39,4 | 4,6        | 43,7 | 5,1        | 49,4 | 5,7        | 57,7 | 6,7        | 66,2  | 7,7        | 71,7  | 8,3        | 79,0  | 9,1        | 89,5  | 10,4       |
| 2880         | 48  | 38,0             | 2,2        | 46,3 | 2,7        | 51,4 | 3,0        | 58,1 | 3,4        | 67,8 | 3,9        | 77,7  | 4,5        | 84,3  | 4,9        | 92,8  | 5,4        | 105,1 | 6,1        |
| 4320         | 72  | 41,7             | 1,6        | 50,8 | 2,0        | 56,4 | 2,2        | 63,8 | 2,5        | 74,5 | 2,9        | 85,4  | 3,3        | 92,6  | 3,6        | 102,0 | 3,9        | 115,5 | 4,5        |
| 5760         | 96  | 44,6             | 1,3        | 54,3 | 1,6        | 60,3 | 1,7        | 68,2 | 2,0        | 79,6 | 2,3        | 91,3  | 2,6        | 99,0  | 2,9        | 109,1 | 3,2        | 123,5 | 3,6        |
| 7200         | 120 | 47,0             | 1,1        | 57,2 | 1,3        | 63,5 | 1,5        | 71,8 | 1,7        | 83,8 | 1,9        | 96,2  | 2,2        | 104,3 | 2,4        | 114,8 | 2,7        | 130,0 | 3,0        |
| 8640         | 144 | 49,0             | 0,9        | 59,7 | 1,2        | 66,3 | 1,3        | 75,0 | 1,4        | 87,4 | 1,7        | 100,3 | 1,9        | 108,8 | 2,1        | 119,8 | 2,3        | 135,6 | 2,6        |
| 10080        | 168 | 50,8             | 0,8        | 61,9 | 1,0        | 68,7 | 1,1        | 77,7 | 1,3        | 90,6 | 1,5        | 104,0 | 1,7        | 112,7 | 1,9        | 124,2 | 2,1        | 140,6 | 2,3        |

# Starkniederschlagshöhen und -spenden gemäß KOSTRA-DWD-2020

## Rasterfeld 149122

(Zeile 149, Spalte 122)

### Örtliche Unsicherheiten in Abhängigkeit von Wiederkehrzeit T und Dauerstufe D

| Dauerstufe D |     | Wiederkehrzeit T |     |     |     |      |      |      |      |       |
|--------------|-----|------------------|-----|-----|-----|------|------|------|------|-------|
|              |     | 1 a              | 2 a | 3 a | 5 a | 10 a | 20 a | 30 a | 50 a | 100 a |
| min          | Std | ± %              | ± % | ± % | ± % | ± %  | ± %  | ± %  | ± %  | ± %   |
| 5            |     | 11               | 11  | 12  | 12  | 13   | 14   | 14   | 14   | 15    |
| 10           |     | 13               | 15  | 16  | 16  | 17   | 18   | 19   | 19   | 20    |
| 15           |     | 15               | 17  | 18  | 19  | 20   | 20   | 21   | 21   | 22    |
| 20           |     | 16               | 18  | 19  | 20  | 21   | 21   | 22   | 22   | 23    |
| 30           |     | 17               | 19  | 19  | 20  | 21   | 22   | 23   | 23   | 24    |
| 45           |     | 17               | 19  | 20  | 20  | 22   | 22   | 23   | 23   | 24    |
| 60           | 1   | 17               | 18  | 19  | 20  | 21   | 22   | 23   | 23   | 24    |
| 90           | 1,5 | 16               | 18  | 19  | 20  | 21   | 22   | 22   | 22   | 23    |
| 120          | 2   | 15               | 17  | 18  | 19  | 20   | 21   | 21   | 22   | 22    |
| 180          | 3   | 15               | 16  | 17  | 18  | 19   | 20   | 20   | 21   | 22    |
| 240          | 4   | 14               | 16  | 17  | 18  | 19   | 19   | 20   | 20   | 21    |
| 360          | 6   | 13               | 15  | 16  | 17  | 17   | 18   | 19   | 19   | 20    |
| 540          | 9   | 12               | 14  | 15  | 16  | 17   | 17   | 18   | 18   | 19    |
| 720          | 12  | 12               | 13  | 14  | 15  | 16   | 17   | 17   | 17   | 18    |
| 1080         | 18  | 11               | 13  | 13  | 14  | 15   | 16   | 16   | 17   | 17    |
| 1440         | 24  | 11               | 12  | 13  | 14  | 14   | 15   | 15   | 16   | 16    |
| 2880         | 48  | 11               | 12  | 12  | 13  | 13   | 14   | 14   | 15   | 15    |
| 4320         | 72  | 12               | 12  | 12  | 13  | 13   | 14   | 14   | 14   | 15    |
| 5760         | 96  | 12               | 12  | 12  | 13  | 13   | 14   | 14   | 14   | 15    |
| 7200         | 120 | 13               | 13  | 13  | 13  | 13   | 14   | 14   | 14   | 15    |
| 8640         | 144 | 13               | 13  | 13  | 13  | 13   | 14   | 14   | 14   | 15    |
| 10080        | 168 | 14               | 13  | 13  | 13  | 14   | 14   | 14   | 14   | 15    |

### Parameter für abweichende T und D

#### Lokationsparameter $\xi$ (Xi)

15,5004155

#### Skalenparameter $\alpha$ (Alpha)

4,68431964

#### Formparameter $\kappa$ (Kappa)

-0,1

#### 1. Koutsoyiannis-Parameter $\theta$ (Theta)

0,0262995

#### 2. Koutsoyiannis-Parameter $\eta$ (Eta)

0,76815569

Parameter für dauerstufenübergreifende Extremwertschätzung nach KOUTSOYIANNIS et al. 1998.

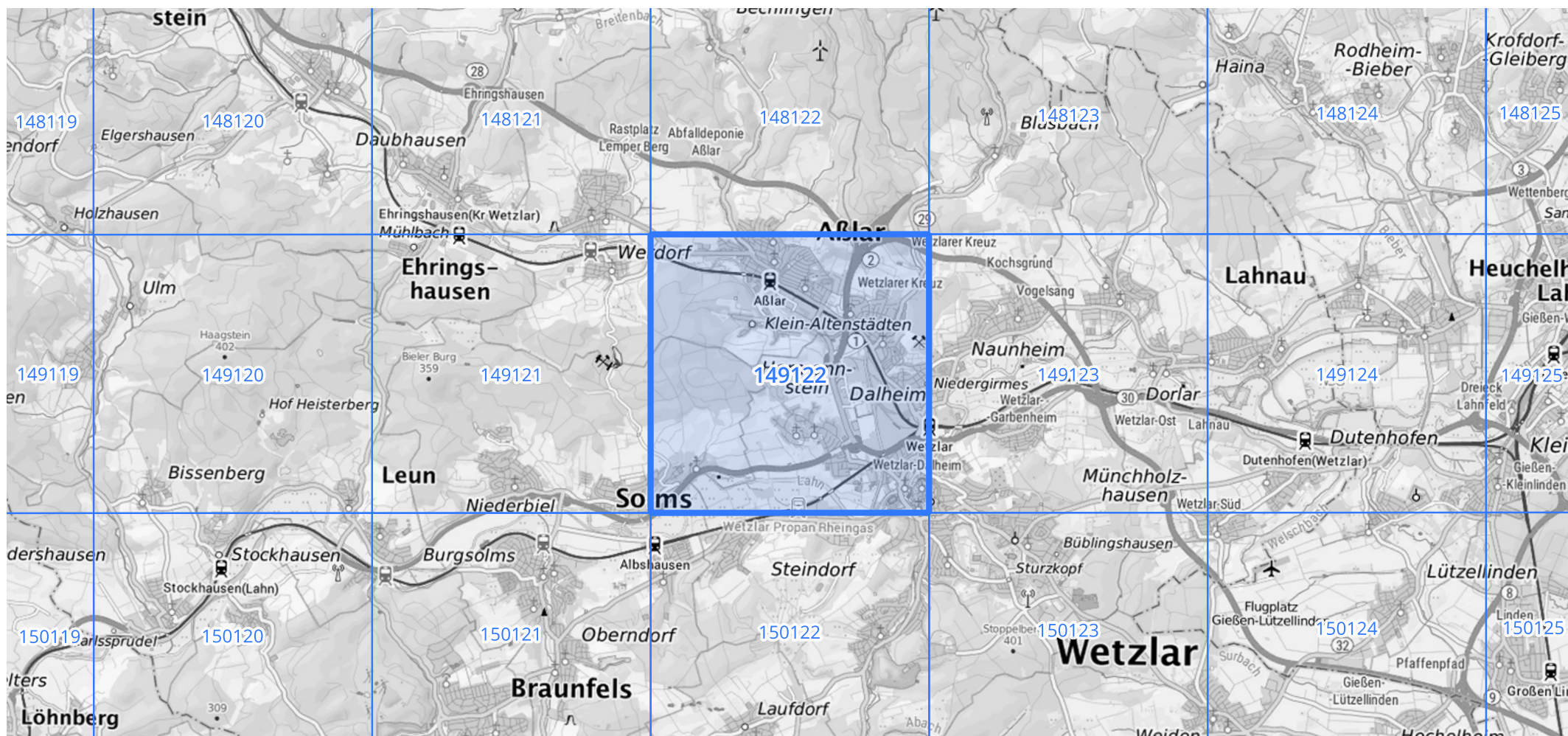
Siehe auch Anwendungshilfe zu KOSTRA-DWD-2020 des Deutschen Wetterdienstes.

# Starkniederschlagshöhen und -spenden gemäß KOSTRA-DWD-2020

## Rasterfeld 149122

(Zeile 149, Spalte 122)

Übersichtskarte des Rasterfeldes 149122, M 1 : 100 000



Quelle Rasterdaten: KOSTRA-DWD-2020 des Deutschen Wetterdienstes, Stand 12/2022.

Seite 3 von 3

Kartendarstellung: © Bundesamt für Kartographie und Geodäsie (2023), Datenquellen: [https://sgx.geodatenzentrum.de/web\\_public/gdz/datenquellen/Datenquellen\\_TopPlusOpen.html](https://sgx.geodatenzentrum.de/web_public/gdz/datenquellen/Datenquellen_TopPlusOpen.html)

Für die Richtigkeit und Aktualität der Angaben wird keine Gewähr übernommen. Erstellt 01/2023.